

5 Тропические циклоны

По средним многолетним оценкам на северо-западе Тихого океана в октябре зарождается 3,4 тропических циклона (ТЦ), достигших стадии тропического шторма (ТС) и выше. В октябре 2025 г. над рассматриваемой акваторией возникло пять ТЦ: тайфуны MATMO (2521), HALONG (2522), NAKRI (2523) и KALMAEGI (2525) и сильный тропический шторм FENGSHEN (2524). ТЦ KALMAEGI (2525) зарегистрирован в 06 ВСВ 31 октября, будет описан в следующем выпуске бюллетеня. Траектории ТЦ представлены на рис. 5-1, ниже приведено их описание.

Наиболее глубоким в октябре был тайфун HALONG (2522) с минимальным давлением в центре 935 гПа и скоростью ветра до 100, порывами 140 узлов.

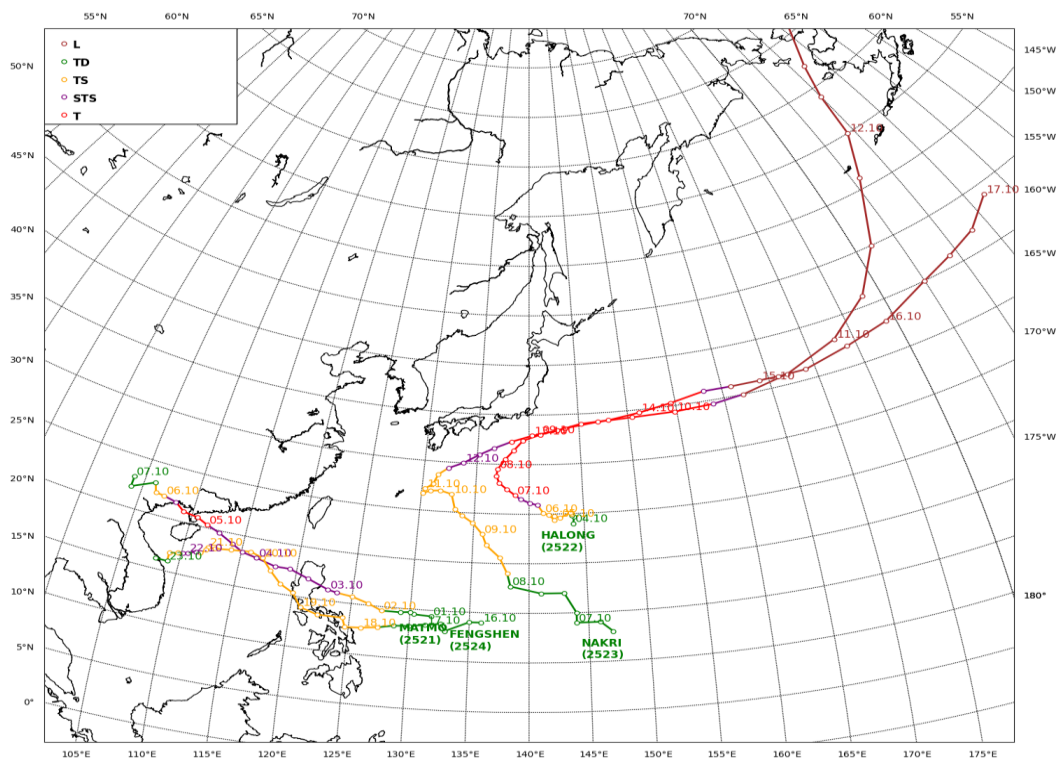


Рис. 5-1 Траектории тропических циклонов северо-западной части Тихого океана в октябре 2025 г.

ТЦ МАТМО (2521)

Тропическая депрессия, из которой развился ТЦ МАТМО (2521), образовалась в 00 ВСВ 1 октября в районе с координатами 14,4° с. ш. и 131,8° в. д. Минимальное давление в центре депрессии составляло 1006 гПа, скорость ветра не превышала 30 узлов. В течение первых суток депрессия двигалась на запад-северо-запад со скоростью 8–12 узлов, сохраняя статус TD.

На спутниковом снимке за 12 ВСВ 1 октября в зоне развития депрессии наблюдается скопление слабо организованных конвективных облаков; формирование облачных спиралей находится в начальной стадии (рис. 5-2). Температура облачных вершин в активных зонах конвекции не ниже -60 °С, что свидетельствует об умеренной конвекции. На периферии наиболее активное образование конвективных облаков наблюдается в северо-восточном секторе.

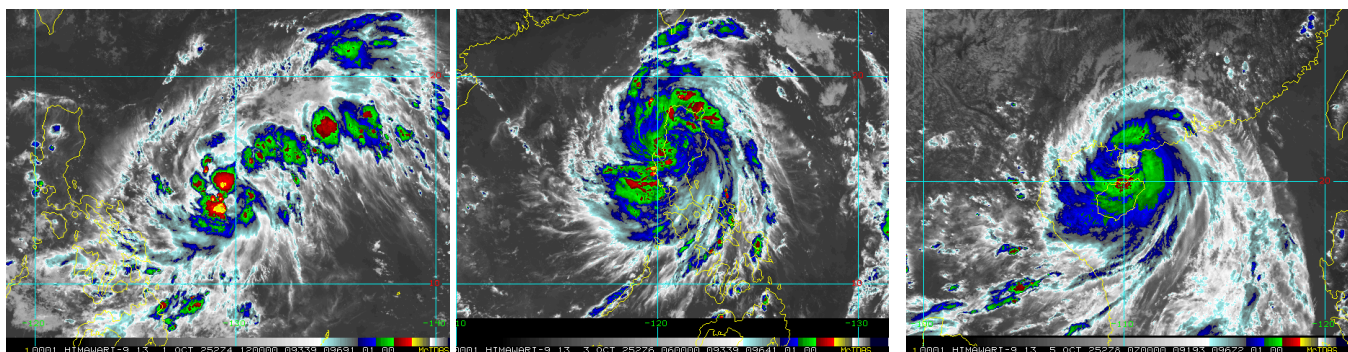


Рис. 5-2 Серия спутниковых изображений облачности ТЦ МАТМО (2521) с ИСЗ НИМАВАРИ-9 слева направо: в стадии ТД за 12 ВСВ 1 октября, STS за 06 ВСВ 3 октября и в стадии тайфуна в период максимального развития за 07 ВСВ 5 октября 2025 г.

К 00 ВСВ 2 октября в районе с координатами $14,6^{\circ}$ с. ш., $127,6^{\circ}$ в. д. депрессия развилась до стадии тропического шторма с давлением в центре 1000 гПа. Скорость максимального ветра возросла до 35, порывами 50 узлов. Радиус сильного ветра составлял 150 морских миль. TS двигался на запад, северо-запад со скоростью 10–12 узлов, гидродинамические условия оставались благоприятными для развития.

К 18 ВСВ 2 октября в районе с координатами $15,9^{\circ}$ с. ш., $123,7^{\circ}$ в. д. ТЦ МАТМО (2521) развился до стадии сильного тропического шторма. Давление в центре циклона понизилось до 990 гПа, скорость ветра возросла до 50, порывами 70 узлов. Радиус сильного ветра не изменился. МАТМО продолжал двигаться на запад, северо-запад со скоростью 11–13 узлов, приближаясь к о. Лусон.

На спутниковом изображении облачности за 06 ВСВ 3 октября STS МАТМО уже представлен организованной системой облаков, с множеством облачных спиралей, сходящихся к центру циркуляции (рис. 5-2). Диаметр облачной системы – около 900 км. Температура облачных вершин в зонах конвекции понизилась до $-70...-75^{\circ}\text{C}$, появились отдельные ядра глубокой конвекции с температурой вершин ниже -80°C .

3 октября STS МАТМО с давлением в центре 980 гПа обрушился на о. Лусон, вызывая сильные ливни и наводнения. По данным NDRRMC, пострадали 313822 человека, один человек погиб, повреждены 26 домов, 6 объектов инфраструктуры, 111 участков дорог и 36 мостов. Только в провинции Аврора были эвакуированы около 21,3 тыс. человек. Отмечались повреждения линий электропередач в провинциях Исабела и Ифугао. Общий ущерб оценивался в 1,9 млн. долларов США.

Двигаясь на запад, северо-запад со скоростью 13 узлов, МАТМО быстро пересек о. Лусон (примерно за 9 часов), к 12 ВСВ 3 октября вышел на акваторию Южно-Китайского моря. После кратковременного ослабления (над о. Лусон заполнился до 990 гПа), вновь начал углубляться. К 00 ВСВ 5 октября в районе с координатами $20,3^{\circ}$ с. ш., $111,5^{\circ}$ в. д. углубился до 975 гПа, перешел в стадию тайфуна. Скорость максимального ветра возросла до 65, порывами 95 узлов. Радиусы сильного и штормового ветров составляли 180 и 40 морских миль соответственно.

На спутниковом снимке за 07 ВСВ 5 октября МАТМО имеет сформированную облачную структуру зрелого тайфуна. Четко прослеживается глаз бури диаметром около 30–40 км, окруженный стеной облаков глубокой конвекции со значениями температур облачных вершин $-85...-95^{\circ}\text{C}$. Центральный облачный массив имеет диаметр около 400 км, вся система облаков примерно в два раза больше. Наблюдается некоторая деформация структуры ТЦ в северном секторе, что связано со взаимодействием с материком – центр тайфуна находился всего на

расстоянии около 70 км от южной провинции Китая Гуандун. Спирали глубокой конвекции хорошо организованы, наиболее развиты в южном, юго-восточном секторах тайфуна.

В 12 ВСВ 5 октября в районе с координатами $21,0^{\circ}$ с. ш. $109,2^{\circ}$ в. д. тайфун МАТМО достиг наибольшей интенсивности. Его глубина составила 970 гПа, максимальная скорость ветра – 70, порывами 100 узлов. Радиусы сильного и штормового ветров соответственно составляли 180 и 60 морских миль. Тайфун двигался на запад, северо-запад со скоростью 11–12 узлов. Достигнутая интенсивность наблюдалась в течение одного синоптического срока.

Уже к 18 ВСВ 5 октября МАТМО заполнился до 980 гПа, деградировал до стадии STS, что объяснялось выходом на сушу, на побережье Вьетнама в район с координатами $21,7^{\circ}$ с. ш., $108,3^{\circ}$ в. д. Скорость максимального ветра уменьшилась до 60, порывами 85 узлов. Средние радиусы сильного и штормового ветров соответственно составляли 180 и 50 морских миль.

Дальнейшая деградация ТЦ МАТМО над сложным рельефом юго-восточной Азии проходила стремительно. К 00 ВСВ 6 октября в районе с координатами $22,0^{\circ}$ с. ш., $107,1^{\circ}$ в. д. он деградировал до стадии TS с давлением в центре 994 гПа; скорость ветра уменьшилась до 45, порывами 65 узлов. Зона сильного ветра составляла 90–180 морских миль. Шторм двигался вглубь материка со скоростью 9–11 узлов.

К 12 ВСВ 6 октября в районе с координатами 23° с. ш., 106° в. д. МАТМО деградировал до стадии TD с давлением 1004 гПа. Скорость максимального ветра не превышала 30, порывами 45 узлов. Последний раз депрессия зафиксирована в 00 ВСВ 7 октября в районе с координатами 23° с. ш., 104° в. д. с давлением в центре 1008 гПа.

Наиболее негативное воздействие тайфуна МАТМО отмечалось на юго-востоке Китая, в провинции Гуандун и на Хайнане, где ущерб населению и инфраструктуре оценивался в 1,56 млрд. долларов США. Общий ущерб достиг 3,08 млрд. долларов США.

Несмотря на косвенное воздействие тайфуна МАТМО, в Гонконге тоже отмечались сильные ливневые дожди, грозы, штормовой ветер. Были отменены 27 авиарейсов, 81 рейс задержан.

Выход тропического циклона на побережье Северного Вьетнама сопровождался сильными дождями и наводнениями, что потребовало эвакуации населения в прибрежных провинциях. Уровень паводка в реке Кау превысил исторический максимум 2024 г., в реке Банг – рекорда 1989 г. Прорыв плотины ГЭС Тхат Кхе-1 привел к затоплению города Тхат Кхе. В Хойфонге наблюдались торнадо. Сообщалось о гибели 16 человек, 10 получили ранения, 2 пропали без вести. Общий ущерб оценивался в 677 млн. долларов США.

В Таиланде почти заполнившийся ТЦ МАТМО вызвал ливни, повлекшие наводнения в 19 провинциях. Погибли 22 человека, пострадали более 370 тыс. человек.

ТЦ HALONG (2522)

Тропическая депрессия, из которой развился ТЦ HALONG (2522), зарегистрирована в 00 ВСВ 4 октября в районе с координатами 24° с. ш., 144° в. д., к юго-востоку от о. Иводзима. Минимальное давление в центре TD составляло 1008 гПа, скорость ветра не превышала 30 узлов. На этапе формирования депрессия находилась в условиях умеренного вертикального сдвига ветра 15–20 узлов, температура поверхности океана – 28 – 29°C , что создавало ограниченные условия для развития. В течение двух суток депрессия медленно двигалась на запад, северо-запад, незначительно углубляясь.

К 18 ВСВ 4 октября в районе с координатами $25,1^{\circ}$ с. ш., $143,8^{\circ}$ в. д. депрессия углубилась до 1002 гПа, получила статус тропического шторма и имя HALONG (2522). Скорость максимального ветра возросла до 35, порывами 50 узлов. В этот период HALONG хорошо

различался на спутниковых снимках. На спутниковом изображении облачности за 00 ВСВ 5 октября он представлен очень плотным конвективным ядром без просветов с небольшим разряжением в центре, где началось формирование глаза бури. Большая часть облаков на периферии от центра ещё слабо вовлечена в циркуляцию ТЦ (рис. 5-3).

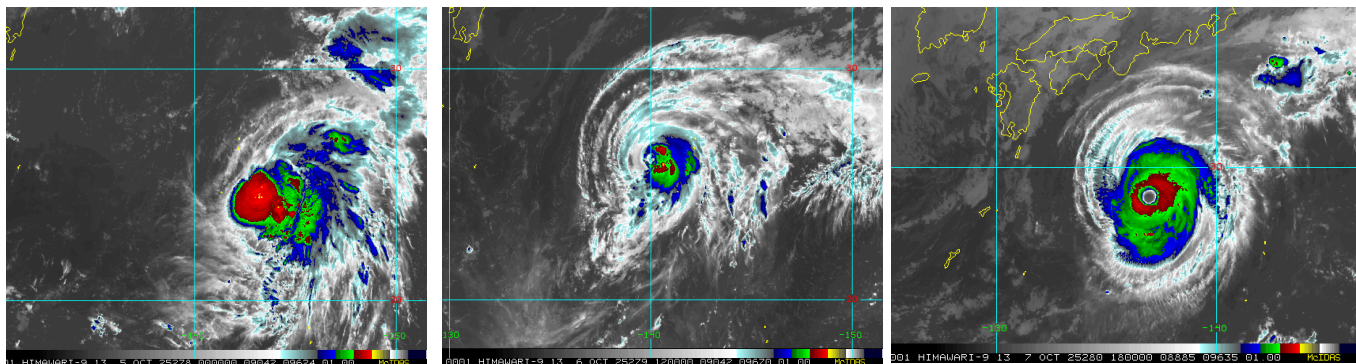


Рис. 5-3 Серия спутниковых изображений облачности ТЦ HALONG (2522) с ИСЗ НИМАВАРИ-9 соответственно слева направо: в стадии ТС за 00 ВСВ 5 октября, STS за 12 ВСВ 6 октября и в стадии тайфуна в период максимального развития за 18 ВСВ 7 октября 2025 г.

5 октября ТС оставался мало подвижным, но продолжал углубляться. Активное развитие ТЦ произошло 6 октября. К 06 ВСВ 6 октября в районе с координатами $25,9^{\circ}$ с. ш., $140,8^{\circ}$ в. д. он углубился до 985 гПа, перешел в стадию сильного тропического шторма. Скорость максимального ветра возросла до 60, порывами 85 узлов. Сформировалась зона штормового ветра (более 50 узлов) радиусом 30 узлов, сильный ветер наблюдался в зоне 120–180 морских миль от центра. На спутниковом снимке облачности за 12 ВСВ 6 октября в этот период развития ТЦ наблюдается дальнейшее формирование облачной системы циклона. Возрастает симметрия облачной системы и вовлечение периферийной облачности, появляются хорошо выраженные спирали облаков, сходящиеся к центру циркуляции (рис. 5-3).

К 00 ВСВ 7 октября в районе с координатами $26,9^{\circ}$ с. ш., $138,7^{\circ}$ в. д. ТЦ HALONG развился до стадии тайфуна с давлением в центре 975 гПа. Скорость максимального ветра достигала 70, порывами 95 узлов. Радиусы сильного и штормового ветра составляли 150 и 45 морских миль соответственно. ТЦ двигался на запад, северо-запад со скоростью 7–9 узлов.

Максимальная интенсивность тайфуна HALONG была зафиксирована в 18 ВСВ 7 октября в районе с координатами $28,8^{\circ}$ с. ш., $136,9^{\circ}$ в. д., он углубился до 935 гПа, скорость максимального ветра возросла до 100, порывами 140 узлов. Достигнутая интенсивность сохранялась в течение трех синоптических сроков. Радиусы сильного и штормового ветра расширились до 150–210 и 50–70 морских миль соответственно. В этот период тайфун развернулся на север, северо-восток, скорость перемещения нарастала с 7 до 11 узлов. На спутниковом изображении облачности за 18 ВСВ 7 октября можно видеть квазисимметричный облачный вихрь диаметром 500–600 км. Четко очерчен глаз бури диаметром около 25–30 км, окруженный стеной конвективных облаков с температурой вершин $-85...-90^{\circ}\text{C}$. Мощные спирали облаков симметрично распределены по всем секторам ТЦ (рис. 5-3).

8 октября тайфун двигался на северо-восток, набирая ускорение и втягиваясь в западно-восточный перенос умеренных широт. 9 октября он начал заполняться, к 18 ВСВ заполнился до 975 гПа. Зоны сильных и штормовых ветров расширилась до 210–270 и 90 морских миль соответственно. Тайфун развернулся на восток, скорость перемещения возросла до 28 узлов.



В период 8–9 октября тайфун HALONG оказывал активное воздействие на погодные условия юго-восточных районов Японии. Глубина тайфуна в этот период составляла 940 гПа, максимальная скорость ветра – 95 узлов. Катастрофические погодные условия привели к масштабным нарушениям в работе инфраструктуры. Более 2,7 тыс. домов остались без водоснабжения. Транспортная система оказалась парализованной – дороги были залиты дождевой водой, завалены вывернутыми деревьями. В результате стихии погиб один человек. На острове Хатидзёдзима (южная группа островов архипелага Японии) были зарегистрированы экстремальные явления: скорость ветра достигла 107 узлов, количество выпавших осадков составило 349 мм, что стало абсолютным максимумом для данной местности.

10 октября, заполняясь, со скоростью около 30 узлов тайфун удалялся от Японии на восток. К 06 ВСВ 10 октября в районе с координатами 34,6° с. ш., 158,8° в. д. он деградировал до стадии STS с давлением в центре 975 гПа. Деграция сопровождалась ослаблением ветра, максимальная скорость ветра уменьшилась до 60 узлов. Радиус сильных и штормовых ветров составлял 210–240 и 80 морских миль соответственно. Ослабление ТЦ было обусловлено усилившимся вертикальным сдвигом ветра (достигающим 25–30 узлов).

Ещё через 6 часов, в 12 ВСВ 10 октября, в районе с координатами 35° с. ш., 162° в. д., заполнившись до 980 гПа, HALONG утратил свойства тропического циклона, втянулся в систему полярного тихоокеанского фронта. Скорость максимального ветра уменьшилась до 60 узлов, радиус сильного ветра составлял 300–500 морских миль. Двигался циклон на северо-восток со скоростью 40–50 узлов.

11 октября наблюдалось повторное углубление циклона, к 06 ВСВ в районе с координатами 41° с. ш., 178° в. д. он углубился до 974 гПа. Максимальная скорость ветра возросла до 65 узлов, зона сильных ветров расширилась до 300–700 морских миль. Вскоре он покинул восточное полушарие.

12 октября, двигаясь на северо-восток, север со скоростью 35–45 узлов, циклон вышел на юго-восточную часть Берингова моря. Над относительно теплой поверхностью этой части Берингова моря (температура поверхности моря – 8–10 °С) и при втягивании в свою циркуляцию арктического воздуха бывший тайфун углубился до 962 гПа. Двигался на север вдоль побережья Аляски, 13 октября вышел в Чукотское море с давлением в центре 974 гПа, вскоре перестал проследиваться на региональных картах погоды.

В Беринговом море в зоне действия циклона скорость ветра достигала 23–28 м/с, волнение развивалось до 7–8 м.

На Аляске HALONG вызвал стихийные явления. В дельте реки Кускоквим зарегистрированы ветры до 48 м/с, вызвавшие масштабные разрушения. Катастрофические наводнения в районах Кипнук и Квигиллингк привели к разрушению домов, инфраструктуры. Сообщалось о гибели одного человека, двое пропали без вести.

ТЦ NAKRI (2523)

Тропическая депрессия, из которой развился ТЦ NAKRI (2523), зарегистрирована в 12 ВСВ 6 октября в районе с координатами 13° с. ш., 147° в. д. с давлением в центре 1008 гПа. Депрессия медленно двигалась на северо-запад, сохраняя статус тропической депрессии почти двое суток. К 18 ВСВ 7 октября её скорость движения возросла до 20 узлов, давление в центре изменилось незначительно – 1006–1008 гПа.

Лишь к 06 ВСВ 8 октября в районе с координатами 19,0° с. ш., 138,1° в. д. произошло углубление до 1002 гПа, ТЦ был присвоен статус тропического шторма и имя NAKRI (2523). Скорость максимального ветра возросла до 35, порывами 50 узлов. Сформировалась зона сильных ветров радиусом 120 морских миль. В течение 8–9 октября шторм продолжал двигаться на северо-

запад со скоростью 12–16 узлов. На спутниковом снимке за 12 ВСВ 8 октября в зоне развития ТС NAKRI наблюдается скопление мощной кучевой облачности, пока слабо организованное (рис. 5-4). В южном секторе наблюдалось формирование облачных спиралей, стремящихся к центру вихря. Температура облачных вершин центрального ядра конвекции была около -75°C .

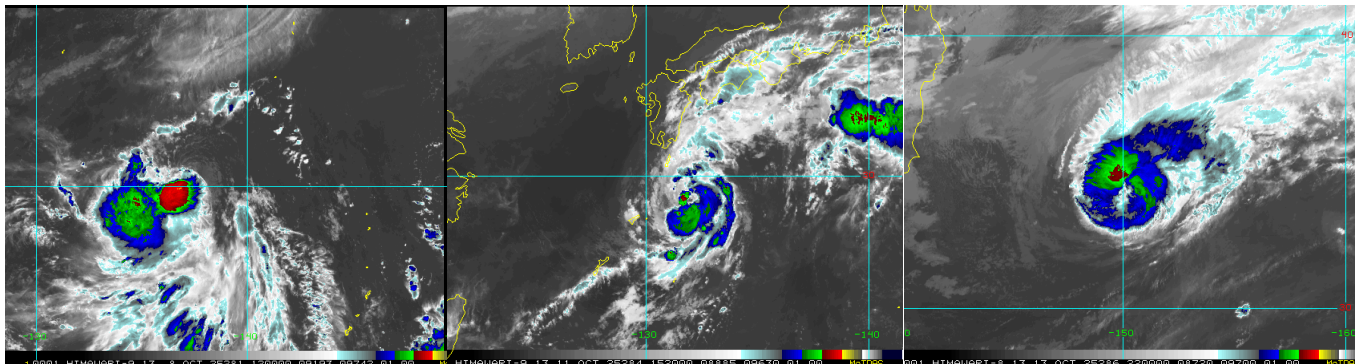


Рис. 5-4 Серия спутниковых изображений облачности ТЦ NAKRI (2523) с ИСЗ НИМАВАРИ-9 слева направо: в стадии ТС за 12 ВСВ 8 октября, за 15:20 ВСВ 11 октября и в стадии тайфуна за 22 ВСВ 13 октября 2025 г.

В период 9–10 октября ТС почти не развивался, двигался на северо-запад со скоростью 10–12 узлов. Лишь к 18 ВСВ 10 октября он углубился до 994 гПа, максимальная скорость ветра возросла до 45 узлов.

Предварительно замедлив движение, к 06 ВСВ 11 октября в районе с координатами $27,7^{\circ}$ с. ш., 131° в. д. NAKRI повернул на северо-восток. К 18 ВСВ 11 октября в районе с координатами $29,4^{\circ}$ с. ш., $132,3^{\circ}$ в. д. углубился до 992 гПа, перешел в стадию сильного тропического шторма. Скорость максимального ветра возросла до 50, порывами 70 узлов. Средний радиус сильных ветров составлял 120 морских миль.

Спутниковый снимок в этот период развития ТЦ NAKRI, за 15:20 ВСВ 11 октября, отражает формирование вихревой структуры облаков, прослеживается образование спиралевидных полос конвекции и начало формирования глаза бури, на этом этапе затененного облаками верхнего яруса (рис. 5-4). В северо-восточном секторе наблюдается взаимодействие с облачной системой стационарного фронта.

К 00 ВСВ 12 октября NAKRI углубился до 980 гПа, за 6 часов давление упало на 12 гПа. Скорость максимального ветра возросла до 60, порывами 85 узлов. Эта фаза интенсивного углубления была обусловлена комплексом благоприятных факторов: температура поверхности моря составляла $29\text{--}30^{\circ}\text{C}$, вертикальный сдвиг ветра не превышал 5–7 м/с.

К 18 ВСВ 12 октября в районе с координатами $32,3^{\circ}$ с. ш., $138,3^{\circ}$ в. д. ТЦ достиг стадии тайфуна с давлением в центре 970 гПа и скоростью максимального ветра 70 узлов. Сформировалась зона штормовых ветров радиусом 40–50 морских миль. Сильный ветер наблюдался на расстоянии 120–180 морских миль от центра ТЦ. Это была пиковая интенсивность тайфуна, зарегистрированная в течение одного синоптического срока. В стадии тайфуна ТЦ NAKRI оставался в течение чуть менее двух суток. Двигался на восток, северо-восток со скоростью 16–18 узлов.

Спутниковый снимок за 22 ВСВ 13 октября отражает развитие ТЦ NAKRI на стадии тайфуна (рис. 5-4). Можно видеть центральный облачный массив правильной круглой формы диаметром около 500–550 км, с некоторой асимметрией очагов глубокой конвекции. Глаз бури диаметром около 25–30 км затенен облаками. Температура облачных вершин в очагах глубокой

конвекции понизилась до $-85...-90$ °С. На севере и северо-востоке от тайфуна по-прежнему наблюдается облачность стационарного фронта.

На погодные условия Японии тайфун NAKRI оказывал воздействие в период 11–13 октября, пройдя над южной группой островов архипелага, чуть южнее о. Хонсю. В южных и центральных регионах Японии наблюдались штормовые ветры до 25–30 м/с и очень сильные дожди, что привело к повреждениям зданий и конструкций инфраструктуры, затоплению низкой местности; последовали локальные отключения электроэнергии, перебои в работе транспорта. В префектурах Сидзуока и Шизуока за 12 часов выпало 180–220 мм осадков, вызвавших переполнение дренажных систем и подтопление низин. Существенно ухудшились условия на морских акваториях, где наблюдались волны высотой до 5–7 м. Были отменены паромные сообщения между островами, закрыты порты. Метеорологические станции в заливе Суруга зафиксировали штормовой нагон высотой до 1,2 м, создавший угрозу прибрежной инфраструктуре.

К 18 ВСВ 13 октября NAKRI окончательно развернулся на восток, двигался над открытой частью океана, удаляясь от Японии со скоростью 23–25 узлов.

В 12 ВСВ 14 октября в районе с координатами 36° с. ш., $158,1^{\circ}$ в. д. ТЦ NAKRI деградировал до стадии STS с давлением в центре 985 гПа. Скорость максимального ветра уменьшилась до 60, порывами 85 узлов. Средние радиусы сильного и штормового ветра составляли 180 и 70 морских миль соответственно.

Через 6 часов к 18 ВСВ 14 октября в районе с координатами 36° с. ш., 161° в. д. ТЦ NAKRI трансформировался во внетропический циклон с давлением в центре 990 гПа. Скорость максимального ветра не превышала 50 узлов. Зона сильного ветра расширилась до 300–400 морских миль. Циклон двигался на восток со скоростью 20–25 узлов, продолжал заполняться.

16 числа, двигаясь на восток, северо-восток уже со скоростью 35 узлов, бывший тайфун покинул восточное полушарие по 38-й параллели с давлением в центре 1010 гПа. На региональных картах погоды последний раз он прослеживался в срок 00 ВСВ 17 октября в координатах 44° с. ш., 163° з. д. с давлением в центре 1008 гПа.

ТЦ FENGSHEN (2524)

Тропическая депрессия, из которой развился ТЦ FENGSHEN (2524), зарегистрирована в 00 ВСВ 16 октября в районе с координатами 14° с. ш., 136° в. д. с давлением в центре 1006 гПа. Скорость максимального ветра вблизи центра TD не превышала 30, порывами 45 узлов. В течение первых суток движение TD носило неустойчивый характер, со сменой направлений от северо-западного, западного до юго-западного, со скоростью 4–16 узлов. Интенсивность менялась незначительно, от 1002 до 1006 гПа.

К 18 ВСВ 17 октября в районе с координатами $12,9^{\circ}$ с. ш., $127,4^{\circ}$ в. д. ТЦ получил развитие, углубившись до 1000 гПа, перешел в стадию тропического шторма. Скорость максимального ветра возросла до 35, порывами 50 узлов. 17 октября ТЦ двигался уже стабильно на запад со скоростью 10–13 узлов.

К 00 ВСВ 18 октября TS FENGSHEN углубился до 996 гПа, скорость максимального ветра возросла до 40, порывами 60 узлов. Зона сильного ветра увеличилась до 120–180 морских миль. Достигнутая глубина сохранялась в течение двух синоптических сроков, дальнейшему развитию помешало взаимодействие с островами Филиппинского архипелага.

В 06 ВСВ 18 октября TS FENGSHEN находился в районе с координатами $12,6^{\circ}$ с. ш., $124,7^{\circ}$ в. д. над восточной группой островов Филиппин. Началось его разрушение, к 00 ВСВ 19 октября он заполнился до 1002 гПа, но зона сильных ветров расширилась до 150–240 морских миль. Филиппины FENGSHEN пересек, двигаясь на запад, северо-запад со скоростью 11–15 узлов.

На Филиппинах TS FENGSHEN вызвал сильные ливни, за которыми последовали оползни и наводнения (рис. 5-5). Дожди сопровождались сильным ветром. Сообщалось о гибели пяти человек в муниципалитете Питого в провинции Кесон из-за падения дерева на дом. В результате наводнений еще трое погибли и два человека пропали без вести в регионе Западные Висайи в центральной части страны.



Рис. 5-5 Город, затопленный в результате наводнения, вызванного TS FENGSHEN 19 октября, провинция Капиз, Филиппины (Фото: Синьхуа)

На спутниковом изображении облачности за 01 ВСВ 18 октября TS FENGSHEN представлен скоплением мощной кучевой облачности, наблюдается консолидация облаков вокруг центра циркуляции и образование облачных спиралей (рис. 5-6). Температура облачных вершин в пределах $-65...-70$ °С. Размер облачного массива достигал 300 км в диаметре, имела место значительная асимметрия, что обуславливалось взаимодействием с островными территориями и слабым развитием самого вихря.

Лишь к 12 ВСВ 19 октября, двигаясь в это время на северо-запад, север со скоростью 15 узлов, через Манильский залив TS FENGSHEN вышел на акваторию Южно-Китайского моря. Над теплой поверхностью Южно-Китайского моря шторм продолжил развиваться.

К сроку 18 ВСВ 21 октября, располагаясь в районе с координатами $17,5^{\circ}$ с. ш., $111,2^{\circ}$ в. д., он перешел в стадию STS с давлением в центре 992 гПа, а к 00 ВСВ 22 октября достиг максимальной интенсивности, углубившись до 990 гПа. Скорость ветра вблизи его центра в 00 ВСВ 22 октября достигла 55, порывами 75 узлов. Радиусы сильного и штормового ветров составляли 150–180 и 30 морских миль соответственно. К этому времени ТЦ двигался на запад, юго-запад со скоростью 5–6 узлов (смена траектории произошла в 06 ВСВ 21 октября).

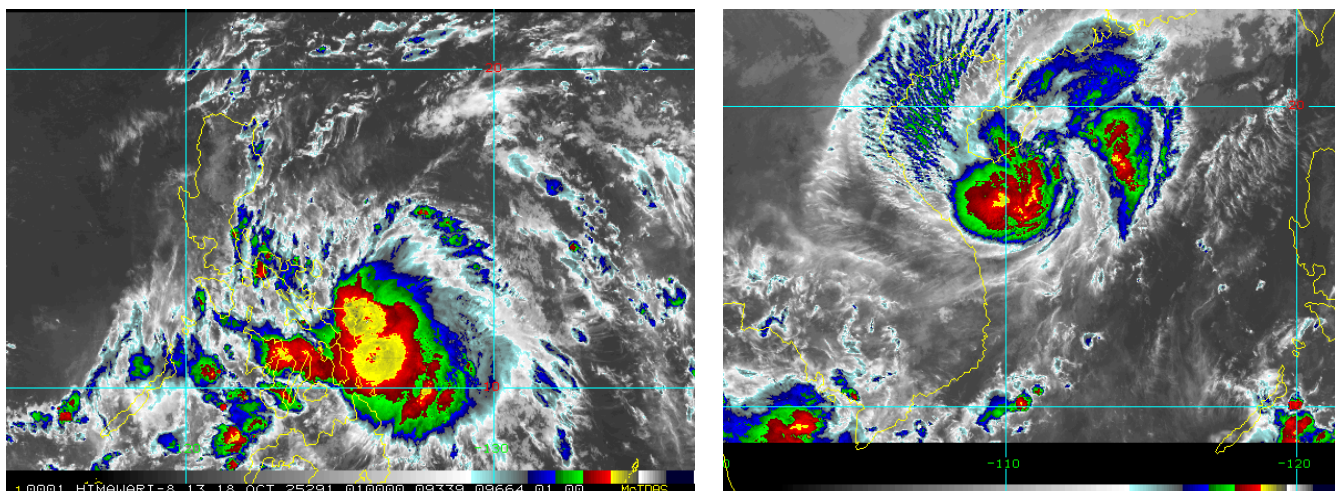


Рис. 5-6 Спутниковые изображения облачности ТЦ FENGSHEN (2524) с ИСЗ НИМАВАРИ-9 в стадиях TS за 01 ВСВ 18 октября (слева) и STS в период максимального развития за 00 ВСВ 22 октября 2025 г. (справа)

Спутниковый снимок облачности за 00 ВСВ 22 октября демонстрирует развитие облачной системы TS FENGSHEN на пике развития, в этот период шторм находился примерно на равном удалении от побережья Вьетнама и о. Хайнань (рис. 5-6). Центральный массив облаков с четкой границей, уплотняющийся к центру, в диаметре не превышал 300 км. Температура облачных вершин в центральном ядре конвекции была около $-80...-85^{\circ}\text{C}$. Наблюдалась значительная асимметрия облачной системы. Выраженная граница облачности и деградация конвекции на северо-западной периферии циклона сформировались под влиянием холодного воздуха, поступающего в систему циклона с севера. Северо-восточный массив облаков, находящийся над теплой морской поверхностью, наоборот, активно развивался, имел включения мощной кучевой облачности. Активность последних соизмерима с процессами конвекции вблизи центра циклона.

С давлением в центре 990 гПа TS оставался в течение 12 часов, в дальнейшем начал разрушаться под воздействием сухого континентального воздуха и усиливающегося вертикального сдвига ветра.

К 12 ВСВ 22 октября в районе с координатами $17,0^{\circ}$ с. ш., $109,7^{\circ}$ в. д. он ослабел до тропического шторма с давлением в центре 994 гПа. Максимальная скорость ветра уменьшилась до 45 узлов. Зона сильных ветров сохранялась в пределах 150–180 морских миль от центра. Двигался шторм на запад, юго-запад со скоростью 5–6 узлов, приближаясь к побережью Вьетнама.

К 00 ВСВ 23 октября в районе с координатами 16° с. ш., 109° в. д., в непосредственной близости с побережьем Вьетнама, ТЦ FENGSHEN заполнился до 1006 гПа, деградировал до стадии TD. Скорость максимального ветра уменьшилась до 30 узлов. Последний раз на картах погоды депрессия была зарегистрирована в 06 ВСВ 23 октября в координатах 16° с. ш., 108° в. д. с давлением в центре 1010 гПа.